

**Regaya Ksiksi, Mohsen Graia,
Ahmed Driss et Tahar Jouini***

Département de Chimie, Faculté des Sciences,
1060 Campus Universitaire, Tunis, Tunisie

Correspondence e-mail: tahar.jouini@fst.rnu.tn

Key indicators

Single-crystal X-ray study

T = 293 K

Mean $\sigma(V-O) = 0.002 \text{ \AA}$

R factor = 0.030

wR factor = 0.093

Data-to-parameter ratio = 12.2

For details of how these key indicators were automatically derived from the article, see <http://journals.iucr.org/e>.

Décavanadate sel double de dilithium et tétra-ammonium décahydrate, $(\text{NH}_4)_4\text{Li}_2[\text{V}_{10}\text{O}_{28}] \cdot 10\text{H}_2\text{O}$

Reçu le 24 mai 2004
Accepté le 15 juillet 2004
Internet 24 juillet 2004

In the title compound, the centrosymmetric polyanion consists of ten VO_6 edge-sharing distorted octahedra. Each of the two Li^+ cations is surrounded by six water molecules in a distorted octahedral arrangement. The $V \cdots V$ distances are in the range 3.078 (5)–3.101 (5) Å and the four types of $V-O$ bond lengths are in the range 1.601 (2)–2.361 (2) Å. The title compound is isostructural with $(\text{NH}_4)_4\text{Na}_2[\text{V}_{10}\text{O}_{28}] \cdot 10\text{H}_2\text{O}$ and $\text{K}_4\text{Na}_2[\text{V}_{10}\text{O}_{28}] \cdot 10\text{H}_2\text{O}$. It provides the first example of a decavanadate salt of a lithium cation.

Commentaire

L'anion décavanadate $[\text{V}_{10}\text{O}_{28}]^{6-}$ (Fig. 1) est l'un des polyoxoanions les plus étudié (Strukhan *et al.*, 1999). En effet, on relève en bibliographie de nombreuses études structurales détaillées des phases contenant cet anion: $\text{Na}_6[\text{V}_{10}\text{O}_{28}] \cdot 18\text{H}_2\text{O}$ (Durif *et al.*, 1980), $\text{Ca}_3[\text{V}_{10}\text{O}_{28}] \cdot 17\text{H}_2\text{O}$ (Swallow *et al.*, 1966), $\text{Sr}_3[\text{V}_{10}\text{O}_{28}] \cdot 10\text{H}_2\text{O}$ (Nieto *et al.*, 1993), $\text{K}_2\text{Zn}_2[\text{V}_{10}\text{O}_{28}] \cdot 16\text{H}_2\text{O}$ (Evans, 1966), $\text{Cs}_4[\text{H}_2\text{V}_{10}\text{O}_{28}] \cdot 4\text{H}_2\text{O}$ (Rigotti *et al.*, 1983), $(\text{NH}_4)_6[\text{V}_{10}\text{O}_{28}] \cdot 6\text{H}_2\text{O}$ (Eglmeier *et al.*, 1993), $(\text{NH}_4)_4\text{Na}_2[-\text{V}_{10}\text{O}_{28}] \cdot 10\text{H}_2\text{O}$ (Fratzky *et al.*, 2000) et $\text{K}_4\text{Na}_2[\text{V}_{10}\text{O}_{28}] \cdot 10\text{H}_2\text{O}$ (Lee & Joo, 2003). Cependant, aucun composé décavanadate au lithium n'a été, à notre connaissance, encore étudié.

Notre composé renferme le cluster centrosymétrique $[\text{V}_{10}\text{O}_{28}]^{6-}$. Il est formé par dix octaèdres VO_6 partageant des arêtes. Les distances $V-O$, dans ces groupements, dépendent du type d'atome d'oxygène impliqué: elles sont comprises entre 1,601 (2) et 1,627 (2) Å pour les atomes d'oxygène

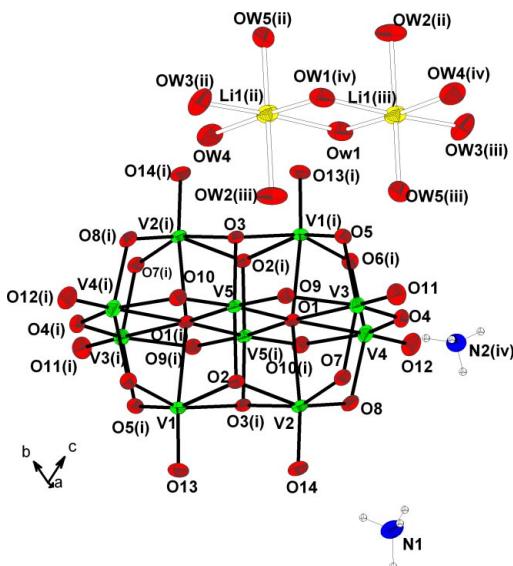
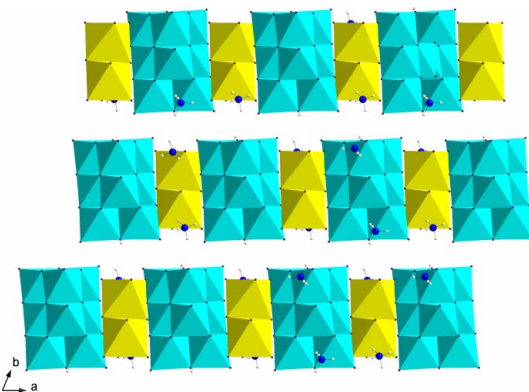


Figure 1

Représentation d'un groupement décavanadate. Les ellipsoïdes d'agitation thermique ont 50% de probabilité d'existence. Clef: Ellipsoïdes vert (V), jaune (Li), bleue (N) et rouge (O).

**Figure 2**

Projection de la structure selon c montrant sa cohésion par les liaisons hydrogène. Clef: Les polyèdres bleu; VO_6 et jaune $\text{Li}(\text{H}_2\text{O})_6$; sphères bleue (N).

terminaux, entre 1,693 (2) et 2,066 (2) Å pour les atomes d'oxygène doublement liés, entre 1,914 (2) et 2,036 (2) Å pour les atomes d'oxygène triplement liées et entre 2,132 (2) et 2,361 (2) Å pour les atomes d'oxygène hexacoordinés. Les distances $\text{V}\cdots\text{V}$ varient de 3,078 (2) à 3,101 (1) Å. Ces longueurs ainsi que les angles de liaisons dans l'anion $[\text{V}_{10}\text{O}_{28}]^{6-}$ sont en accord avec celles relevées dans la littérature (Strukan *et al.*, 1999; Evans, 1966).

Les cations Li^+ hexacoordinés par des molécules d'eau forment par mise en commun d'arrêtes des dimères centro-symétriques $\text{Li}_2(\text{H}_2\text{O})_{10}^{2+}$. Les distances $\text{Li}-\text{O}$ varient de 2,084 (5) à 2,270 (5) Å.

Ces différents groupements s'empilent en couches parallèles au plan (010) (Fig. 2). La cohésion entre couches est assurée par des liaisons hydrogène de type $\text{N}-\text{H}\cdots\text{O}$ et $\text{O}-\text{H}\cdots\text{O}$. Les cations ammonium établissent des liaisons hydrogène avec le groupement décavanadate. La structure de ce composé est isotype de celle du composé $(\text{NH}_4)_4\text{Na}_2[\text{V}_{10}\text{O}_{28}] \cdot 10\text{H}_2\text{O}$.

La comparaison des paramètres de maille du composé étudié avec la phase $(\text{NH}_4)_4\text{Na}_2[\text{V}_{10}\text{O}_{28}] \cdot 10\text{H}_2\text{O}$ montre que les paramètres de maille a et b diminuent comme on pouvait s'y attendre suite au remplacement de Na^+ par Li^+ , mais le paramètre c augmente de façon inattendue. L'examen des différents distances inter-atomique révèle l'allongement des interactions hydrogène dans le composé étudié. En effet elles varient de 2,795 à 3,039 Å pour la phase $(\text{NH}_4)_4\text{Na}_2[\text{V}_{10}\text{O}_{28}] \cdot 10\text{H}_2\text{O}$ et de 2,851 (3) à 3,305 (4) Å pour la phase $(\text{NH}_4)_4\text{Li}_2[\text{V}_{10}\text{O}_{28}] \cdot 10\text{H}_2\text{O}$. Ceci pourrait s'expliquer par la formation de liaisons $\text{Li}-\text{O}$ à caractère covalent entraînant une moindre polarisation du lithium et un allongement des liaisons hydrogène, avec pour conséquence l'allongement du paramètre c .

Partie expérimentale

Le composé $(\text{NH}_4)_4\text{Li}_2[\text{V}_{10}\text{O}_{28}] \cdot 10\text{H}_2\text{O}$ a été préparé par dissolution des réactifs NH_4VO_3 (Fluka, 99,5%) et LiNO_3 (Prolabo, 99%) dans l'eau pure. Les rapports molaires sont $\text{NH}_4\text{VO}_3:\text{LiNO}_3 = 2:1$. Le pH de la solution est environ égal à 5. On ajoute progressivement de l'eau pure jusqu'à dissolution totale, le mélange réactionnel est

ensuite transvasé dans un cristallisoir et mis à l'étuve à une température 343 K. Après trois jours, l'évaporation lente de la solution conduit à la formation de cristaux orange de forme parallélépipédique.

Données cristallines

$(\text{NH}_4)_4\text{Li}_2[\text{V}_{10}\text{O}_{28}] \cdot 10\text{H}_2\text{O}$	$Z = 1$
$M_r = 1223,61$	$D_x = 2,439 \text{ Mg m}^{-3}$
Triclinique, $P\bar{1}$	Mo $K\alpha$ radiation
$a = 8,523 (2) \text{ \AA}$	Paramètres de la maille à l'aide de 25 réflexions
$b = 10,272 (2) \text{ \AA}$	$\theta = 2-27^\circ$
$c = 11,110 (2) \text{ \AA}$	$\mu = 2,80 \text{ mm}^{-1}$
$\alpha = 68,42 (2)^\circ$	$T = 293 (2) \text{ K}$
$\beta = 87,05 (2)^\circ$	Bloc, orange
$\gamma = 67,80 (2)^\circ$	$0,58 \times 0,29 \times 0,14 \text{ mm}$
$V = 833,1 (3) \text{ \AA}^3$	

Collection des données

Diffractomètre Enraf–Nonius CAD-4	$R_{\text{int}} = 0,002$
Balayage $\omega/2\theta$	$\theta_{\text{max}} = 27,0^\circ$
Correction d'absorption: balayage ψ (North <i>et al.</i> , 1968)	$h = -10 \rightarrow 0$
$T_{\text{min}} = 0,392$, $T_{\text{max}} = 0,676$	$k = -13 \rightarrow 12$
7758 réflexions mesurées	$l = -14 \rightarrow 14$
3628 réflexions indépendantes	2 réflexions de référence
3387 réflexions avec $I > 2\sigma(I)$	fréquence: 120 min
	variation d'intensité: 1%

Affinement

Affinement à partir des F^2	Affinement des atomes
$R[F^2 > 2\sigma(F^2)] = 0,030$	d'hydrogène: combinaisons de cycles avec ou sans contraintes
$wR(F^2) = 0,093$	$w = 1/[F_o^2 + (0,0537P)^2 + 0,7843P]$ where $P = (F_o^2 + 2F_c^2)/3$
$S = 1,16$	$(\Delta/\sigma)_{\text{max}} = 0,004$
3628 réflexions	$\Delta\rho_{\text{max}} = 0,73 \text{ e \AA}^{-3}$
298 paramètres	$\Delta\rho_{\text{min}} = -0,66 \text{ e \AA}^{-3}$

Tableau 1

Distances et liaisons hydrogène (Å, °).

$D-\text{H}\cdots\text{A}$	$D-\text{H}$	$\text{H}\cdots\text{A}$	$D\cdots\text{A}$	$D-\text{H}\cdots\text{A}$
OW1-H1...O5	0,83 (4)	2,11 (2)	2,912 (3)	164 (3)
OW1-H2...O13 ⁱ	0,81 (4)	2,44 (3)	3,130 (3)	144 (3)
OW2-H3...O9 ⁱⁱ	0,83 (4)	2,066 (18)	2,895 (3)	178 (4)
OW2-H4...O6	0,83 (4)	2,03 (4)	2,851 (3)	174 (3)
OW3-H5...O7	0,84 (3)	2,032 (19)	2,851 (3)	166 (4)
OW3-H6...O13 ⁱⁱⁱ	0,84 (4)	2,20 (2)	2,985 (3)	156 (3)
OW3-H6...O14 ⁱⁱⁱ	0,84 (4)	2,62 (3)	3,187 (3)	126 (3)
OW4-H7...O8 ^{iv}	0,80 (2)	2,196 (18)	2,975 (3)	166 (3)
OW4-H8...O3	0,81 (2)	2,095 (18)	2,902 (3)	176 (4)
OW5-H9...O4	0,83 (2)	2,112 (19)	2,890 (3)	157 (3)
OW5-H10...OW2 ^v	0,81 (2)	2,59 (2)	3,305 (4)	150 (3)
N1-H11...O14	0,83 (2)	2,04 (2)	2,848 (3)	163 (3)
N1-H12...O10 ^{vi}	0,84 (2)	2,08 (2)	2,866 (3)	154 (3)
N1-H12...O9 ⁱⁱⁱ	0,84 (2)	2,58 (3)	3,009 (3)	113 (3)
N1-H13...OW4 ^{vi}	0,83 (2)	2,26 (2)	3,070 (3)	167 (3)
N1-H13...OW3	0,83 (2)	2,58 (3)	3,028 (4)	116 (3)
N1-H14...O2 ⁱⁱⁱ	0,83 (2)	2,17 (2)	2,943 (3)	156 (3)
N1-H14...O7 ⁱⁱⁱ	0,83 (2)	2,59 (3)	3,040 (3)	115 (3)
N2-H15...O12 ^{vii}	0,80 (2)	2,34 (3)	2,841 (3)	121 (3)
N2-H15...O11 ⁱⁱⁱ	0,80 (2)	2,41 (3)	3,113 (3)	146 (3)
N2-H16...O13	0,80 (3)	2,09 (2)	2,884 (3)	172 (4)
N2-H17...O6 ⁱⁱⁱ	0,79 (2)	2,40 (3)	2,986 (3)	131 (3)
N2-H17...O5 ^{ix}	0,79 (2)	2,42 (2)	3,178 (3)	160 (3)
N2-H17...O4 ^{ix}	0,79 (2)	2,54 (3)	3,076 (3)	126 (3)
N2-H18...OW5 ^{vii}	0,80 (2)	2,32 (2)	3,108 (4)	169 (4)

Codes de symétrie: (i) $x, y, 1+z$; (ii) $-1-x, 1-y, 1-z$; (iii) $-x, -y, 1-z$; (iv) $x-1, 1+y, z$; (v) $1+x, y-1, 1+z$; (vi) $1+x, y-1, z$; (vii) $1-x, -y, 1-z$; (viii) $-x, 1-y, -z$; (ix) $x, y, z-1$.

Les atomes H des molécules d'eau et des atomes d'azote ont été contraints ($\text{O}-\text{H} = 0,82 \text{ \AA}$, $\text{H}\cdots\text{H} = 1,37 \text{ \AA}$ et $\text{N}-\text{H} = 0,85 \text{ \AA}$). De plus l'instruction AFIX 02 de SHELXL97 (Sheldrick, 1997) a été

appliquée pour contraindre leurs facteurs d'agitation thermique par rapport aux atomes porteurs.

Collection des données: *CAD-4 EXPRESS* (Duisenberg, 1992; Macíček & Yordanov, 1992); affinement des paramètres de la maille: *CAD-4 EXPRESS*; réduction des données: *MolEN* (Fair, 1990); programme(s) pour la solution de la structure: *SHELXS97* (Sheldrick, 1997); programme(s) pour l'affinement de la structure: *SHELXL97* (Sheldrick, 1997); graphisme moléculaire: *DIAMOND* (Brandenburg, 1998); logiciel utilisé pour préparer le matériel pour publication: *SHELXL97*.

Références

- Brandenburg, K. (1998). *DIAMOND*. Version 2.0. Gerhard-Domagk-Straße 1, 53121 Bonn, Allemagne.
- Duisenberg, A. J. M. (1992). *J. Appl. Cryst.* **25**, 92–96.
- Durif, A., Averbuch-Pouchot, M. T. & Guitel, J. C. (1980). *Acta Cryst.* **B36**, 680–682.
- Eglmeier, C., Range, K.-I., Kleynhans, A. & Heyns, A. M. (1993). *S. Afr. J. Chem.* **46**, 7–13.
- Evans, H. T. (1966). *Inorg. Chem.* **5**, 967–977.
- Fair, C. K. (1990). *MolEN*. Enraf–Nonius, Delft, Les Pays-Bas.
- Fratzky, D., Schneider, M., Rabe, S. & Meisel, M. (2000). *Acta Cryst.* **C56**, 740–741.
- Lee, U. & Joo, H. C. (2003). *Acta Cryst.* **E59**, i122–i124.
- Macíček, J. & Yordanov, A. (1992). *J. Appl. Cryst.* **25**, 73–80.
- Nieto, J. M., Salagre, P., Medina, F. & Sueiras, J. E. (1993). *Acta Cryst.* **C49**, 1879–1881.
- North, A. C. T., Phillips, D. C. & Mathews, F. S. (1968). *Acta Cryst.* **A24**, 351–359.
- Rigotti, G., Rivero, B. E. & Castellano, E. E. (1983). *Acta Cryst.* **C39**, 197–201.
- Sheldrick, G. M. (1997). *SHELXS97* et *SHELXL97*. Université de Göttingen, Allemagne.
- Strukan, N., Cindric, M. & Kamenar, B. (1999). *Acta Cryst.* **C55**, 291–293.
- Swallow, A. G., Ahmed, F. R. & Barnes, W. H. (1966). *Acta Cryst.* **21**, 397–405.